



บทความวิจัย

การเพิ่มสมรรถนะของอาร์เรย์โมดูลเซลล์แสงอาทิตย์ภายในจัดเรียงตำแหน่งโมดูลใช้เทคนิคชุดๆ 5x5 แบบ kakibata ในจัดเรียงตำแหน่งโมดูล

ธนากร น้ำหอมจันทร์*

สาขาวิชาวิศวกรรมไฟฟ้าและพลังงาน คณะวิศวกรรมศาสตร์ มหาวิทยาลัยอีสเทิร์นเอเชีย

* ผู้อิพนธ์ประสานงาน โทรศัพท์ 0 2577 1028 ต่อ 451 อีเมล: thanakorn@eau.ac.th

DOI: 10.14416/j.kmutnb.2024.06.005

รับเมื่อ 8 กรกฎาคม 2565 แก้ไขเมื่อ 27 กันยายน 2565 ตอบรับเมื่อ 27 ตุลาคม 2565 เผยแพร่องล์ 14 มิถุนายน 2567

© 2024 King Mongkut's University of Technology North Bangkok. All Rights Reserved.

บทคัดย่อ

บทความนี้นำเสนอการเพิ่มสมรรถนะของอาร์เรย์โมดูลเซลล์แสงอาทิตย์ภายในจัดเรียงตำแหน่งโมดูลใหม่โดยคงตำแหน่ง การเชื่อมต่อทางไฟฟ้าไว้ ซึ่งใช้เทคนิคชุดๆ 5x5 แบบ kakibata จำนวน 5 รูปแบบ ได้แก่ SD1, SD2, SD3, SD4 และ SD5 เปรียบเทียบกับการจัดเรียงแบบ TCT มาตรฐาน ทำการศึกษาโดยใช้พารามิเตอร์ของแผงเซลล์แสงอาทิตย์ ชนิดโพลีคริสตัลไลน์ พิกัด 10 วัตต์ (VP-SP-10Wp) เชื่อมต่อโมดูลแบบ TCT การบังเงา 5 รูปแบบ ได้แก่ SW, SN, LW, LN และแบบไม่มีการบังเงา โดยโมดูลที่ถูกบังเงาและไม่มีบังกำหนดให้ได้รับความเข้มรังสีดวงอาทิตย์ 300 วัตต์/ม.² และ 1,000 วัตต์/ม.² ตามลำดับที่ อุณหภูมิโมดูล 25 องศาเซลเซียส จำลองหาพารามิเตอร์สำหรับวิเคราะห์สมรรถนะของอาร์เรย์โมดูลเซลล์แสงอาทิตย์บน โปรแกรม MATLAB/Simulink จากผลการจำลองพบว่า การจัดเรียงด้วยเทคนิคที่นำเสนอสามารถเพิ่มสมรรถนะของอาร์เรย์ โมดูลเมื่อเปรียบเทียบกับการจัดเรียงแบบ TCT Std. ในกรณีการบังเงาบางส่วนแบบ SW SN และ LW ได้ 22.9 4.29 และ 18.63 เปอร์เซ็นต์ ตามลำดับ ในกรณีการจัดเรียงแบบ SD5 สามารถเพิ่มสมรรถนะการบังเงาแบบ LW ได้ 21.81 เปอร์เซ็นต์ ซึ่งแสดงให้เห็นว่า เทคนิคที่นำเสนอสามารถลดผลกระทบจากการบังเงาบางส่วนได้ ผลจากการวิจัยนี้สามารถนำรูปแบบการ จัดเรียงที่นำเสนอไปใช้ในติดตั้งอาร์เรย์เซลล์แสงอาทิตย์เพื่อช่วยลดผลกระทบจากการบังเงาบางส่วนได้อย่างมีประสิทธิผล

คำสำคัญ: อาร์เรย์โมดูลเซลล์แสงอาทิตย์ การบังเงาบางส่วน การจัดเรียงตำแหน่งอาร์เรย์โมดูล ชุดๆ 5x5 แบบ kakibata การตามรอยจุดกำลังไฟฟ้าสูงสุด



Performance Enhancement of PV Array under Partial Shading Conditions Using Sudoku 5x5 Cross Pattern Configurations

Thanakorn Namhormchan*

Department of Electrical and Energy Engineering, Faculty of Engineering, Eastern Asia University, Pathum Thani, Thailand

* Corresponding Author, Tel. 0 2577 1028 ext. 451, E-mail: thanakorn@eau.ac.th DOI: 10.14416/j.kmutnb.2024.06.005

Received 8 July 2022; Revised 27 September 2022; Accepted 27 October 2022; Published online: 14 June 2024

© 2024 King Mongkut's University of Technology North Bangkok. All Rights Reserved.

Abstract

This paper presents the performance enhancement of PV array modules under partial shading conditions, in which the partial shading effect is reduced by spreading the shading pattern using Physical Relocation of Module with Fixed Electrical Connections—PRM-FEC. Five Sudoku 5×5 cross-pattern techniques are used, SD1, SD2, SD3, SD4, and SD5, compared with the standard TCT configuration. The study uses a 10 W polycrystalline solar panel (VP-SP-10 Wp) parameter and TCT module topology with five shading patterns: SW, SN, LW, LN, and without shading (NS). The shaded and unshaded modules are assigned solar radiation intensities of 300 W/m² and 1,000 W/m², respectively, at a module temperature of 25 °C. Parameters are simulated for the performance analysis of the PV array module in the MATLAB/Simulink program. From the simulation results, the proposed arrangement can enhance the performance of the array modules compared to the TCT Std. configuration in the case of partial shading of SW, SN, and LW by 22.9, 4.29, and 18.63%, respectively. The SD5 configuration was able to increase the LW shading performance by 21.81%, demonstrating that the proposed technique was able to reduce the effect of partial shading. The results of this research can be applied to the proposed arrangement pattern in the installation of solar arrays to effectively reduce the effects of partial shading.

Keywords: PV Array, Partial Shading, Array Module Reconfiguration, Sudoku 5×5 Cross Pattern, Maximum Power Point Tracking (MPPT)

Please cite this article as: T. Namhormchan “Performance enhancement of PV array under partial shading conditions using sudoku 5×5 cross pattern configurations,” *The Journal of KMUTNB*, vol. 34, no. 4, pp. 1–11, ID. 243-066197, Oct.–Dec. 2024 (in Thai).



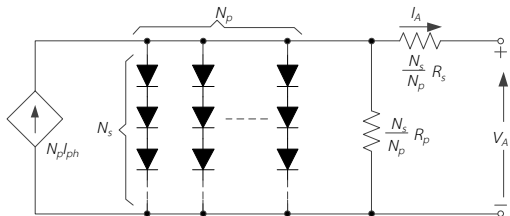
1. บทนำ

ปัจจุบันมีการติดตั้งระบบผลิตไฟฟ้าโดยใช้เซลล์แสงอาทิตย์มากขึ้นอย่างมีนัยยะสำคัญ เนื่องจากเป็นพลังงานสะอาด ไม่ปล่อยมลพิษขณะผลิตไฟฟ้า ลดการใช้เชื้อเพลิงฟอสซิล การผลิตไฟฟ้าจากพลังงานแสงอาทิตย์เป็นขบวนการเปลี่ยนพลังงานแสงเป็นกระแสไฟฟ้าโดยตรง มีหลักการทำงานคือ เซลล์แสงอาทิตย์ซึ่งประกอบขึ้นจากสารกึ่งตัวนำชนิดเอ็นและสารกึ่งตัวนำชนิดพีเป็นรอยต่อพี-เอ็น เมื่อได้รับพลังงานแสงในรูปคลื่นแม่เหล็กไฟฟ้า จะทำให้เกิดการเคลื่อนที่ของอิเล็กตรอนจากสารกึ่งตัวนำชนิดเอ็นไปรวมตัวกับโอลในสารกึ่งตัวนำชนิดพี ทำให้เกิดกระแสไฟฟ้าขึ้น

กำลังไฟฟ้าอาจที่พุทธของเซลล์แสงอาทิตย์จะแปรผัน ตรงกับความเข้มแสงอาทิตย์ ปัจจัยสำคัญที่ทำให้กำลังไฟฟ้า เอาท์พุทธของเซลล์แสงอาทิตย์ลดลง คือ การบังเบาบางส่วนซึ่งเกิดจาก ก้อนเมฆ เครื่องบิน เป็นต้น การสูญเสียกำลังไฟฟ้าของอาร์เรย์โมดูลเซลล์แสงอาทิตย์เนื่องจากการบังเบาบางส่วนไม่ได้เป็นสัดส่วนกับพื้นที่บังเบา แต่ขึ้นอยู่กับรูปแบบการบังเบา และทำແenhงของโมดูลที่ถูกบังเบา [1]

การจัดเรียงตำแหน่งของโมดูลใหม่โดยตำแหน่ง การเชื่อมต่อทางไฟฟ้ายังคงเดิม (Physical Relocation of Module with Fixed Electrical Connections; PRM-FEC) เป็นเทคนิคหนึ่งสำหรับลดผลกระทบจากการบังเบาบางส่วนซึ่งจะช่วยกระจายโมดูลที่ถูกบังเบาออกจากกันสามารถลดกำลังสูญเสียจากการบังเบาบางส่วนได้ [1]–[6] ตัวอย่างงานวิจัยที่เกี่ยวข้อง เช่น การตามรอยจุดกำลังไฟฟ้าสูงสุดของโมดูล พิกัด 330 วัตต์ อาร์เรย์ขนาด 5×5 เชื่อมต่อโมดูลแบบ TCT (Total-Cross-Tied; TCT) จัดเรียงตำแหน่งโมดูลโดยใช้เทคโนโลยีการหมุนและพลิกกลับของเมจิกสแควร์ จำนวน 8 รูปแบบ การบังเบา 4 รูปแบบ จำลองหากำลังไฟฟ้าสูงสุดบน MATLAB/Simulink เทคนิคที่นำเสนอช่วยเพิ่มกำลังผลิตของอาร์เรย์โมดูลได้ $3.34\text{--}45.5$ เปอร์เซ็นต์ เมื่อเปรียบเทียบกับการจัดเรียงแบบ TCT มาตรฐาน [2] การทดสอบหากำลังไฟฟ้าสูงสุดของโมดูล พิกัด 10 วัตต์ อาร์เรย์ขนาด 5×5 เชื่อมต่อโมดูลแบบ TCT จัดเรียงตำแหน่งโมดูลโดยใช้เทคโนโลยีการหมุนและพลิกกลับของเมจิกสแควร์ จำนวน 5 รูปแบบ การบังเบา

4 รูปแบบ ได้แก่ Short Wide; SW, Short Narrow; SN, Long Wide; LW และ Long Narrow; LN ทดสอบในสภาพแวดล้อมที่ความจีบเรืองสีอาทิตย์ประมาณ 950 วัตต์/ม.² ใช้ฟิล์มกรองแสง 70 เปอร์เซ็นต์ เป็นเวลาจำลองหาค่ากำลังไฟฟ้าสูงสุดโดยปรับเปลี่ยนค่าความต้านทานโหลด เทคนิคที่นำเสนอช่วยเพิ่มกำลังผลิตของอาร์เรย์โมดูลได้ $0.9\text{--}50.7$ เปอร์เซ็นต์ เมื่อเปรียบเทียบกับการจัดเรียงแบบ TCT มาตรฐาน [3] การศึกษาเบรย์บีที่บ่มรรถนะของอาร์เรย์โมดูลเซลล์แสงอาทิตย์ พิกัด 10 วัตต์ จากรูปแบบการเชื่อมโยงอาร์เรย์ 4 รูปแบบ ได้แก่ Series-Parallel; SP, Bridge-Link; BL, Honey-Comb; HC และ Total-Cross-Tied; TCT การบังเบาบางส่วน 4 รูปแบบ ได้แก่ SW, SN, LW และ LN จัดเรียงตำแหน่งโมดูลโดยใช้เทคนิคการสื่อสารและของเมจิกสแควร์ จำนวน 5 รูปแบบ จำลองหากำลังไฟฟ้าสูงสุดบน MATLAB/Simulink โดยเทคนิคที่นำเสนอช่วยเพิ่มกำลังผลิตของอาร์เรย์โมดูลได้ $1.91\text{--}55.59$ เปอร์เซ็นต์ โดยการเชื่อมโยงอาร์เรย์แบบ TCT ให้ค่ากำลังไฟฟ้าสูงสุดสูงกว่าการเชื่อมโยงรูปแบบอื่น [1] การเพิ่มกำลังผลิตของอาร์เรย์โมดูล พิกัด 20 วัตต์ อาร์เรย์ขนาด 4×4 เชื่อมต่อโมดูลแบบ TCT และ D-TCT ซึ่งจัดเรียงตำแหน่งโมดูลโดยการสลับตำแหน่งภายในคอลัมน์ ของคอลัมน์ที่ 2 3 และ 4 ในลักษณะการกระจายตัวที่ 1 ให้อยู่ตามแนวทแยง จำนวน 1 รูปแบบ การบังเบา 8 รูปแบบ จำลองหากำลังไฟฟ้าสูงสุดเบรย์บีที่บ่มรรถนะ การจัดเรียงโมดูลด้วยวิธีจำนวนคี่–จำนวนคู่ (Odd-Even) และทำการทดสอบในสภาพแวดล้อมใช้ผ้าโปร่งแสงเป็นเงาจำลอง หากำลังไฟฟ้าสูงสุดโดยใช้ความต้านทานปรับค่าได้ เทคนิคที่นำเสนอช่วยเพิ่มกำลังผลิตของอาร์เรย์โมดูลได้ $9.46\text{--}18.06$ % เมื่อเปรียบเทียบกับการจัดเรียงแบบ TCT มาตรฐาน [4] การเพิ่มกำลังไฟฟ้าสูงสุดของอาร์เรย์โมดูลพิกัด 200 วัตต์ อาร์เรย์ขนาด 9×9 เชื่อมต่อโมดูลแบบ TCT จัดเรียงตำแหน่งโมดูลโดยใช้เทคโนโลยีที่ถูกปรับปรุง 2 รูปแบบ การบังเบา 7 รูปแบบ จำลองหากำลังไฟฟ้าสูงสุดบน MATLAB/Simulink เทคนิคที่นำเสนอช่วยเพิ่มกำลังผลิตของอาร์เรย์โมดูลได้ $0.68\text{--}25.74$ เปอร์เซ็นต์ เมื่อเปรียบเทียบกับการจัดเรียงแบบ TCT มาตรฐาน [5] เป็นต้น



รูปที่ 1 อาร์เรย์เซลล์แสงอาทิตย์ขนาด $N_s \times N_p$ โมดูล [6]

งานวิจัยนี้มีวัตถุประสงค์เพื่อศึกษาการลดผลกระทบจากการบังเงาบางส่วน ของอาร์เรย์โมดูล พิกัด 10 วัตต์ ขนาดอาร์เรย์ 5×5 เชื่อมต่อโมดูลแบบ TCT จัดเรียงตำแหน่งในโมดูล PRM-FEC โดยใช้ชุดโฉกแบบ kakibata (Sudoku 5x5 Cross Pattern) 5 รูปแบบ จำลองการตามรอยจุดกำลังไฟฟ้าสูงสุดบน MATLAB/Simulink เปรียบเทียบกับการจัดเรียงแบบ TCT มาตรฐาน

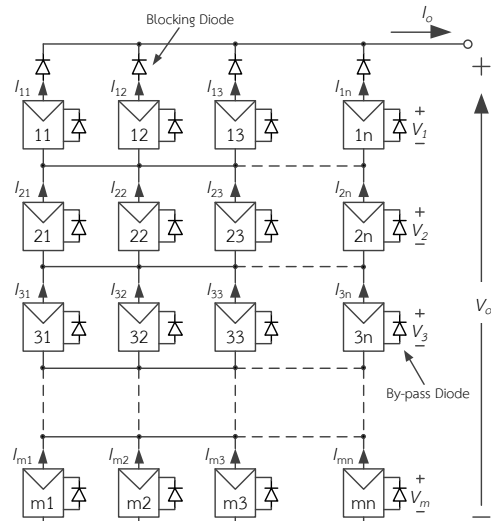
2. วัสดุ อุปกรณ์และวิธีการวิจัย

2.1 อาร์เรย์โมดูลเซลล์แสงอาทิตย์

อาร์เรย์โมดูลเซลล์แสงอาทิตย์ประกอบด้วยโมดูลที่ต่ออนุกรมและขนาดกันแสดงดังรูปที่ 1 กระแสເວາທີ່ພຸດຂອງอาร์เรย์ขนาด $N_s \times N_p$ และแสดงดังสมการที่ (1)

$$I_A = I_{ph}N_p - I_{RS}N_p \left\{ \exp \left[\frac{1}{A V_{TH}} \left(\frac{V_A}{N_s} + \frac{I_A R_s}{N_p} \right) \right] - 1 \right\} - \frac{N_p}{R_p} \left(\frac{I_A R_s}{N_p} \right) \quad (1)$$

เมื่อ I_A และ V_A คือ กระแสแສເວາທີ່ພຸດ [A] และแรงดันເວາທີ່ພຸດ [V] ของอาร์เรย์ I_{ph} คือ กระแสແສບລົມໜັງອັນກັບຂອງໄດ້ໂດເຊລໍສະເໝົດ [A] R_s คือ ຄວາມຕ້ານທານອນຸກຮົມ [Ω] R_p คือ ຄວາມຕ້ານທານຂານ [Ω] A คือ ແພດເຕວຣີໃນອຸດົມຕິຂອງຮອຍຕ່ອງ P-n ໄດ້ໂດເຊລໍສະເໝົດ ມີຄ່າຮ່ວງ 1 ถึง 5 V_{TH} คือ ແຮງດັນທີ່ເກີດຈາກອຸນຫຼວມຂອງເຊລໍ [V] ໜ້າໄດ້ຈາກ $V_{TH} = kT_c/q$ โดยທີ່ T_c คือ ອຸນຫຼວມສົມບູຮົນການທຳງານຂອງເຊລໍສະເໝົດ [K] q คือ ປະຈຸໄຟຟ້າຂອງອີເລີກຕ່ອນ $[1.60217733 e^{-19} Cb]$ k คือ ຄ່າຄົງທີ່ຂອງບົ້ອລທີ່ມັນ



รูปที่ 2 การเชื่อมต่ออาร์เรย์โมดูลแบบ TCT [5]

$$[1.380658 e^{-23} J/K] [6]$$

โมดูลเซลล์แสงอาทิตย์ที่ใช้ในการศึกษามีคุณสมบัติทางไฟฟ้าแสดงดังตารางที่ 1 การเชื่อมต่อโมดูลแบบ TCT แสดงดังรูปที่ 2

ตารางที่ 1 คุณสมบัติของโมดูลเซลล์แสงอาทิตย์ที่ใช้ในการศึกษา

Polycrystalline Solar Panel VP-SP-10Wp	
STC (1000W/m², 25°C)	
Out Peak Power (P_m)	10 W
Maximum Power Voltage (V_{mp})	18 V
Maximum Power Current (I_{mp})	0.56 A
Open Circuit Voltage (V_{oc})	22.4 V
Short Circuit Current (I_{sc})	0.67 A
Dimension	
0.235×0.35 m	0.08225 m²

2.2 ชູໂດກຸ 5x5 ແບກາກບາທ

ຈູໂດກຸ (Sudoku) ເປັນເກມປະລາຍງານຄນິຕະສົກຖຸກຕືພິມທີ່ໃນສໜວ້າຂອງເມວິກາຄັ້ງແຮກໃນນິຕຍສາກພັ້ນເຊີລ ເນື້ອພ.ສ. 2522 ໃນຫຼື່ວ່າ Number Place ແລະ ປາກງານສູ່ປຸ່ນ ຄັ້ງແຮກເນື້ອພ.ສ. 2527 ຈູໂດກຸ ເປັນຄໍາຢ່າງວ່າ ຈູຈິວຈູໂດກຸ

1	3	4	5	2
2	5	1	3	4
3	4	5	2	1
4	2	3	1	5
5	1	2	4	3

(ก)

11	32	43	54	25
21	52	13	34	45
31	42	53	24	15
41	22	33	14	55
51	12	23	44	35

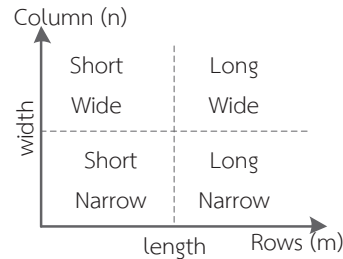
(ข)

รูปที่ 3 ชุดเด็ก 5x5 (ก) แบบภาคบาท และ (ข) ปรับปรุงจาก 3 (ก)

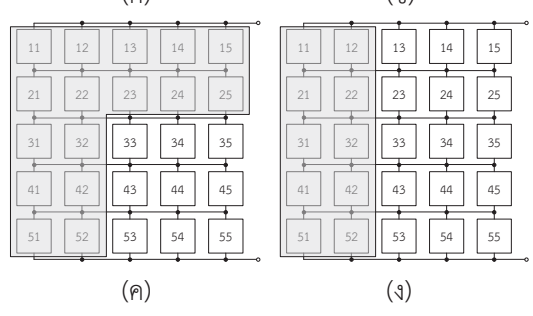
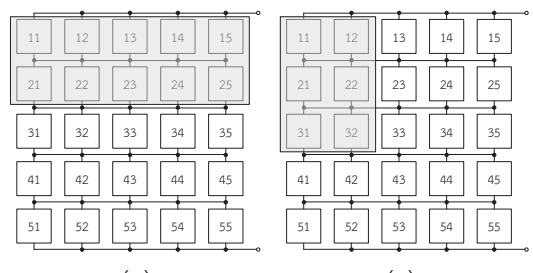
ชินนิคากิจุ (Suji Wa Dokushin Ni Kagiru) ซึ่งหมายความว่า ตัวเลขต้องมีเพียงเลขเดียว ชูโดกุโดยทั่วไปอยู่ในรูปของ เมทริกซ์ขนาด 9×9 ผู้เล่นจะต้องเติมตัวเลข 1 ถึง 9 ลง ในช่องว่าง โดยที่ตัวเลขในแต่ละแถว แต่ละคอลัมน์ และ แต่ละตารางย่อยขนาด 3×3 ต้องไม่ซ้ำกัน [7] ปัจจุบันมีการ พัฒนาชูโดกุให้มีขนาดอื่น ๆ เช่น 4×4 5×5 6×6 12×12 เป็นต้น รวมถึงการเพิ่มระดับความยากด้วยการเพิ่มเงื่อนไข เช่น ตัวเลขในแนวทแยงต้องไม่ซ้ำกัน ตัวเลขในช่องที่กำหนด เป็นเลขคี่หรือเลขคู่ เป็นต้น ชูโดกุที่ใช้งานวิจัยนี้มีขนาด 5×5 และมีตารางย่อยขนาด 5 ช่องจำนวน 5 ตาราง โดยมีตารางย่อยตรงกลางเป็นรูปภาคบาท ซึ่งตัวเลข 1 ถึง 5 ใน แต่ละแถว แต่ละคอลัมน์ และแต่ละตารางย่อยต้องไม่ซ้ำกัน ตัวอย่างดังรูปที่ 3 (ก) โดยรูปที่ 3 (ข) แสดงการปรับปรุง ชูโดกุจากรูปที่ 3 (ก) โดยการเพิ่มตัวเลขเป็น 2 หลักสุดคล้อง กับตำแหน่งของเมทริกซ์ $m \times n$ โดยตัวเลขหลักที่ 1 แสดงถึง ลำดับของแถวในแต่ละคอลัมน์ และตัวเลขหลักที่ 2 แสดงถึง ลำดับของคอลัมน์

2.3 รูปแบบการบังเบาบางส่วน

ผลกระทบจากการบังเบาบางส่วนศึกษาจากจำนวน คอลัมน์ (ความกว้าง) และจำนวนแถว (ความยาว) ของ อาร์เรย์โมดูลแสดงดังรูป 4 [1] รูปแบบการบังเบาที่ใช้ใน งานวิจัยนี้ 4 รูปแบบ ดังนี้ 1) SW 2) SN 3) LW และ 4) LN ตัวอย่างการบังเบาบางส่วนของอาร์เรย์ที่มีการ เชื่อมโยงแบบ TCT และการจัดเรียงแบบ TCT มาตรฐาน แสดงดังรูป 5 [8]



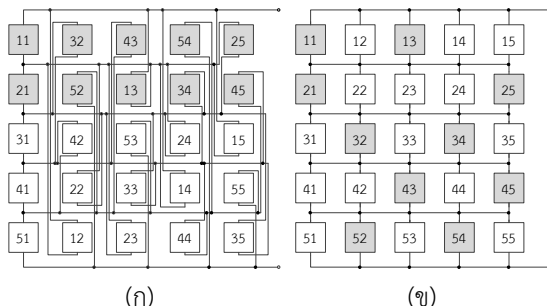
รูปที่ 4 รูปแบบเงื่อนไขการบังเบาบางส่วน [1]



รูปที่ 5 การบังเบา (ก) SW (ข) SN (ค) LW และ (ง) LN

2.4 การจัดเรียงตำแหน่งของโมดูลใหม่โดยตำแหน่งการ เชื่อมต่อทางไฟฟ้าังค์เดิม (PRM-FEC)

วัตถุประสงค์หลักของ PRM-FEC คือ กระจายการ บังเบาเพื่อลดผลกระทบจากการบังเบาบางส่วนของอาร์เรย์ โมดูล โดยการจัดเรียงตำแหน่งทางกายภาพของโมดูลใหม่ ภายในอาร์เรย์ด้วยเทคนิคต่าง ๆ [9] งานวิจัยนี้ใช้เทคนิคชูโดกุ 5×5 แบบภาคบาท โดยคงที่ตำแหน่งของโมดูลที่อยู่ ในคอลัมน์ที่ 1 (11 21 31 41 และ 51) และจัดเรียง ตำแหน่งโมดูลที่อยู่ในแต่ละคอลัมน์ที่ 2 ถึง 4 ตัวอย่างการ จัดเรียงอาร์เรย์ตามรูป 3 (ข) ซึ่งเชื่อมโยงอาร์เรย์แบบ TCT กรณีการบังเบาแบบ SW ตามรูป 5(ก) แสดงดังรูป 6(ก) และการ กระจายเงาแสดงดังรูป 6 (ข) การจัดเรียงโมดูลโดยใช้ชูโดกุ



รูปที่ 6 การใช้มonte Carlo เทคนิคแบบ TCT การบังเบาแบบ SW
(ก) การจัดเรียงโดยใช้สูตร 5x5 แบบกำหนด และ
(ข) การกระจายเงาบังเบาส่วน

5x5 แบบกำหนดที่ใช้ในงานวิจัยนี้ 5 รูปแบบเปรียบเทียบกับการจัดเรียงแบบ TCT มาตรฐาน แสดงต่อไปนี้ 7 โดยรูปที่ 7 (ก) แสดงการจัดเรียงแบบ TCT มาตรฐาน รูปที่ 7 (ข) ถึง 7 (ฉ) แสดงการจัดเรียงโดยใช้สูตรแบบกำหนดที่ 1–5

2.5 การวิเคราะห์สมรรถนะของอาร์เรย์โมดูล

งานวิจัยนี้พิจารณาพารามิเตอร์สำหรับวิเคราะห์สมรรถนะของอาร์เรย์โมดูล ดังนี้ จุดกำลังไฟฟ้าสูงสุดที่แท้จริง (Global Maximum Power Point; GMPP) ความสูญเสียจากการไม่เข้ากัน (Mismatch Losses; ML) พิล์ล์แฟคเตอร์ (Fill Factor; FF) ประสิทธิภาพ (η) และกำลังไฟฟ้าที่เพิ่มขึ้น (Enhancement Power; EP) สำหรับพิจารณาสมรรถนะของการจัดเรียงอาร์เรย์โมดูลภายใต้เงื่อนไขการบังเบาบางส่วน [10]

พิล์ล์แฟคเตอร์สัมพันธ์กับแรงดันเปิดวงจร (V_{oc}) กระแสตัวตน (I_{sc}) แรงดันที่กำลังไฟฟ้าสูงสุด (V_{mp}) และกระแสที่กำลังไฟฟ้าสูงสุด (I_{mp}) FF หากได้จากสมการที่ (2)

$$FF (\%) = \frac{Power at GMPP}{V_{oc} I_{sc}} \quad (2)$$

ความสูญเสียจากการไม่เข้ากัน คือ ความแตกต่างระหว่างกำลังไฟฟ้าสูงสุดภายใต้รังสีอาทิตย์แบบสม่ำเสมอ (MPP_{uni}) และกำลังไฟฟ้าสูงสุดที่แท้จริงภายใต้การบังเบาบางส่วน (MPP_{PSCs}) ML หาได้จากสมการที่ (3)

11	12	13	14	15
21	22	23	24	25
31	32	33	34	35
41	42	43	44	45
51	52	53	54	55

(ก) (ข)

11	32	43	54	25
21	52	13	44	35
31	42	53	24	15
41	12	23	34	55
51	22	33	14	45

(ก) (ข)

11	52	43	24	35
21	32	53	44	15
31	42	13	54	25
41	22	33	14	55
51	12	23	34	45

(ก) (ข)

11	52	43	24	35
21	32	53	44	15
31	42	23	14	55
41	12	33	54	25
51	22	13	34	45

(ก) (ข)

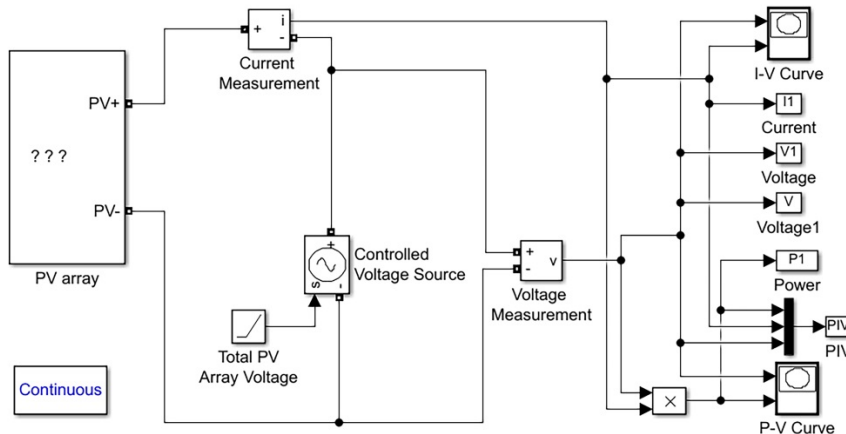
รูปที่ 7 การจัดเรียง (ก) Std. TCT (ข) SD1 (ค) SD2 (ง) SD3
(จ) SD4 และ (ฉ) SD5

$$ML (\%) = \frac{MPP_{uni} - MPP_{PSCs}}{MPP_{PSCs}} \quad (3)$$

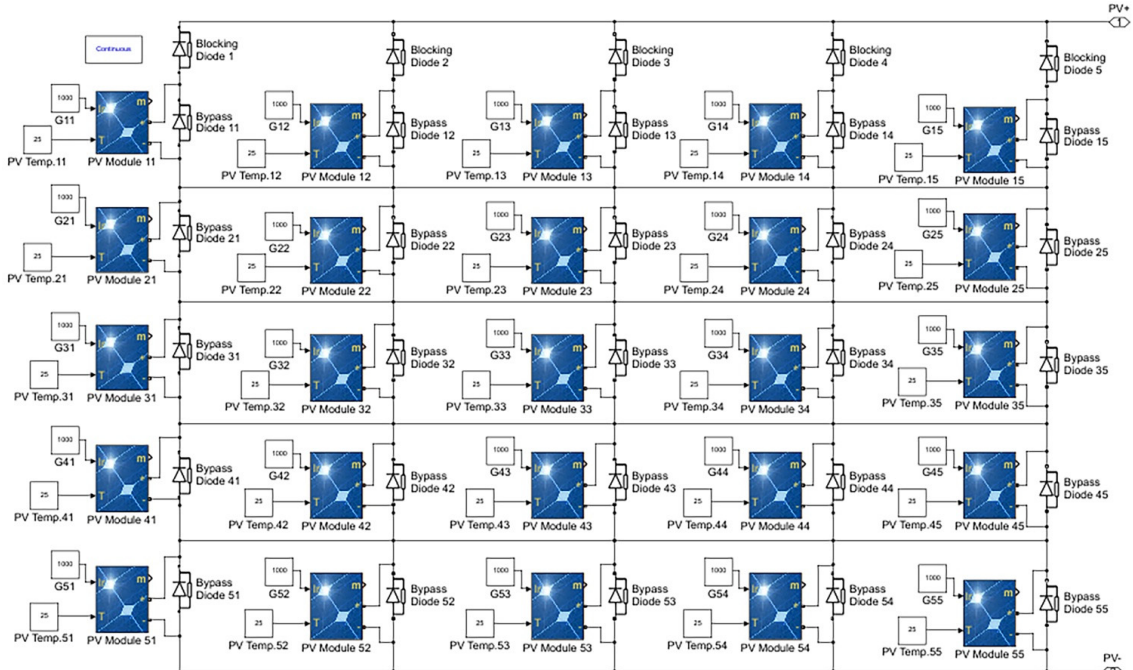
ประสิทธิภาพ คือ อัตราส่วนระหว่างกำลังไฟฟ้าเอาท์พุต และแสงอาทิตย์อินพุตของอาร์เรย์โมดูล ประสิทธิภาพคำนวณได้จากสมการที่ (4)

$$Efficiency (\eta) = \frac{Power at GMPP}{P_{in}} \quad (4)$$

เมื่อ P_{in} คือ ความเข้มรังสีอาทิตย์ที่ตกกระทบบนอาร์เรย์โมดูลและอาทิตย์



รูปที่ 8 บล็อกไดอะแกรมสำหรับหารามิเตอร์ทางไฟฟ้าของอาร์เรย์โมดูลเซลล์แสงอาทิตย์บนโปรแกรม MATLAB/Simulink



รูปที่ 9 ตัวอย่างการจัดเรียงอาร์เรย์แบบ TCT Std. บนโปรแกรม MATLAB/Simulink

กำลังไฟฟ้าที่เพิ่มขึ้น หาได้จากการเปรียบเทียบ $GMPP$ ระหว่างการจัดเรียงรูปแบบที่นำเสนอเปรียบเทียบกับ TCT มาตรฐาน แสดงดังสมการที่ (5)

$$EP (\%) = \frac{GMPP_{SD_n} - GMPP_{TCT\ Std.}}{GMPP_{TCT\ Std.}} \quad (5)$$

การจัดเรียงอาร์เรย์แบบ TCT Std. แสดงดังรูปที่ 8 บล็อกไดอะแกรมสำหรับจำลองหารามิเตอร์ ได้แก่ จุดกำลังไฟฟ้าสูงสุดที่แท้จริง ($GMPP$) แรงดันไฟฟ้าที่จุดกำลังไฟฟ้าสูงสุด (V_{mpp}) กระแสไฟฟ้าที่จุดกำลังไฟฟ้าสูงสุด (I_{mpp}) ของอาร์เรย์โมดูลเซลล์แสงอาทิตย์บนโปรแกรม MATLAB/Simulink [3], [6] และแสดงดังรูปที่ 9 โมดูลที่



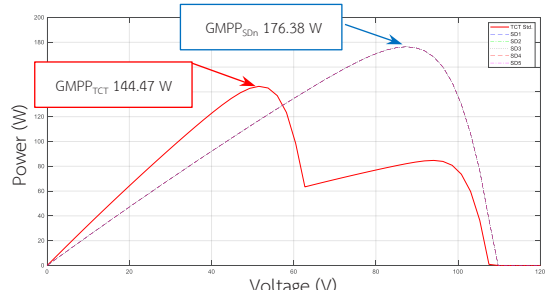
ถูกบังเงาจะกำหนดให้ได้รับความเข้มรังสีด้วยอาทิตย์ 300 วัตต์/ม.² และโมดูลที่ไม่ถูกบังเงาจะกำหนดให้ได้รับความเข้มรังสีด้วยอาทิตย์ 1,000 วัตต์/ม.² ที่อุณหภูมิโมดูล 25 องศาเซลเซียส

3. ผลการทดลอง

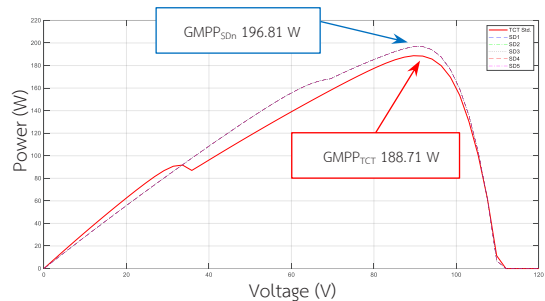
ผลการจำลองหาพารามิเตอร์สำหรับวิเคราะห์หาสมรรถนะของอาร์เรย์โมดูลที่จัดเรียงโดยใช้เทคนิคที่นำเสนอ และการจัดเรียงแบบ TCT มาตรฐาน ภายใต้การบังเงาบางส่วนรูปแบบต่าง ๆ แสดงดังตารางที่ 2

ตารางที่ 2 ผลการจำลองและคำนวณหาพารามิเตอร์ของ อาร์เรย์โมดูลภายใต้การบังเงาบางส่วน

PRM	PSC	GMPP	FF (%)	ML(%)	η (%)	EP (%)
TCT	NS	249.74	66.90	0.00	12.15	-
	SW	144.47	40.09	72.87	9.76	-
	SN	188.71	51.25	32.34	11.03	-
	LW	101.81	39.84	145.31	8.97	-
	LN	176.38	66.84	41.59	11.91	-
SD1	NS	249.74	66.90	0.00	12.15	0.00
	SW	176.38	66.84	41.59	11.91	22.09
	SN	196.81	62.03	26.90	11.50	4.29
	LW	120.77	57.81	106.80	10.64	18.63
	LN	176.38	66.84	41.59	11.91	0.00
SD2	NS	249.74	66.90	0.00	12.15	0.00
	SW	176.38	66.84	41.59	11.91	22.09
	SN	196.81	62.03	26.90	11.50	4.29
	LW	120.77	57.81	106.80	10.64	18.63
	LN	176.38	66.84	41.59	11.91	0.00
SD3	NS	249.74	66.90	0.00	12.15	0.00
	SW	176.38	66.84	41.59	11.91	22.09
	SN	196.81	62.03	26.90	11.50	4.29
	LW	120.77	57.81	106.80	10.64	18.63
	LN	176.38	66.84	41.59	11.91	0.00
SD4	NS	249.74	66.90	0.00	12.15	0.00
	SW	176.38	66.84	41.59	11.91	22.09
	SN	196.81	62.03	26.90	11.50	4.29
	LW	120.77	57.81	106.80	10.64	18.63
	LN	176.38	66.84	41.59	11.91	0.00



รูปที่ 10 P-V Curve ของอาร์เรย์โมดูลจัดเรียงแบบ SD เปรียบเทียบกับ TCT Std. การบังเงาแบบ SW



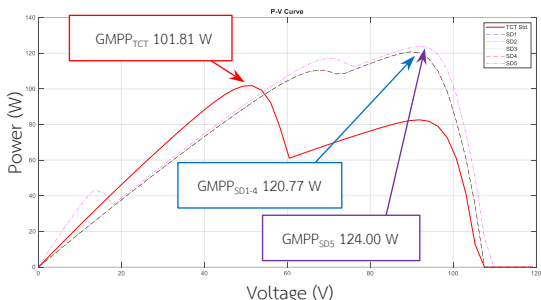
รูปที่ 11 P-V Curve ของอาร์เรย์โมดูลจัดเรียงแบบ SD เปรียบเทียบกับ TCT Std. การบังเงาแบบ SN

ตารางที่ 2 ผลการจำลองและคำนวณหาพารามิเตอร์ของ อาร์เรย์โมดูลภายใต้การบังเงาบางส่วน (ต่อ)

PRM	PSC	GMPP	FF (%)	ML(%)	η (%)	EP (%)
SD5	NS	249.74	66.90	0.00	12.15	0.00
	SW	176.38	66.84	41.59	11.91	22.09
	SN	196.81	62.03	26.90	11.50	4.29
	LW	124.00	30.76	101.40	10.92	21.81
	LN	176.38	66.84	41.59	11.91	0.00

ผลการจำลองพบว่า กรณีไม่มีการบังเงา (NS) และกรณีการบังเงาแบบ LN ทุกการจัดเรียงได้รับรังสีอาทิตย์เท่ากัน มี GMPP เท่ากับ 249.74 และ 176.38 วัตต์ ตามลำดับ

กรณีการบังเงาแบบ SW การจัดเรียง SD1-SD5 มี GMPP เท่ากับ 176.38 วัตต์ การจัดเรียง TCT มี GMPP เท่ากับ 144.47 วัตต์ แสดงดังรูปที่ 10 กรณีการบังเงาแบบ SN การจัดเรียง SD1-SD5 มี GMPP เท่ากับ 196.81 วัตต์



รูปที่ 12 P-V Curve ของอาร์เรย์โมดูลจัดเรียงแบบ SD เปรียบเทียบกับ TCT Std. การบังเงาแบบ LW

การจัดเรียง TCT มี GMPP เท่ากับ 188.71 วัตต์ และดังรูปที่ 11 กรณีการบังเงาแบบ LW การจัดเรียง SD1-SD4 มี GMPP เท่ากับ 120.77 W SD5 มี GMPP เท่ากับ 124.00 วัตต์ การจัดเรียง TCT มี GMPP เท่ากับ 101.81 วัตต์ และดังรูปที่ 12

4. อภิปรายผลและสรุป

การจัดเรียงอาร์เรย์โมดูลตัวอย่างๆ โดย 5×5 แบบกากบาทสามารถกระจายการบังเงางานส่วนในรูปแบบที่ศึกษาได้แสดงดังภาคผนวก ผลจากการจำลองพบว่า รูปแบบการบังเงาและจำนวนแผงที่ได้รับการบังเงาส่งผลต่อกำลังผลิตของอาร์เรย์โมดูล ตัวอย่างเช่น การบังเงางานส่วน กรณี SN มีแผงที่ได้รับการบังเงา 6 แผง ได้ GMPP 188.71 และ 196.81 วัตต์ จากจัดเรียงแบบ TCT Std. และ SD ตามลำดับ และกรณี LW มีแผงที่ได้รับการบังเงา 16 แผง ได้ GMPP 101.81 และ 120.77 วัตต์ จากจัดเรียงแบบ TCT Std. และ SD ตามลำดับ การจัดเรียงด้วย SD สามารถเพิ่มสมรรถนะของอาร์เรย์โมดูลเมื่อเปรียบเทียบกับการจัดเรียงแบบ TCT Std. ในกรณีการบังเงางานส่วนแบบ SW SN และ LW ได้ 22.9, 4.29 และ 18.63 % ตามลำดับ ในกรณีการจัดเรียงแบบ SD5 สามารถเพิ่มสมรรถนะการบังเงาแบบ LW ได้ 21.81 % หากว่าการจัดเรียงแบบ SD1-SD4 ผลการวิเคราะห์หาพิล็อตแฟคเตอร์ (FF) พบว่า การจัดเรียงด้วย SD สามารถเพิ่มประสิทธิภาพของอาร์เรย์โมดูลได้โดยพิจารณา กำลังไฟฟ้าสูงสุดที่เกิดขึ้นจริง (GMPP) เมื่อเปรียบเทียบกับ

กำลังไฟฟ้าทางทฤษฎี ($V_{oc} I_{sc}$) ในกรณี SW SN และ LW ได้ซึ่งมีผลไปในทิศทางเดียวกับค่าความสูญเสียจากการไม่เข้ากัน (ML) ที่ลดลง และประสิทธิภาพของอาร์เรย์โมดูล (η) ที่เพิ่มขึ้น แสดงให้เห็นว่าเทคนิคการจัดเรียงอาร์เรย์โมดูลที่นำเสนอร่วมกับการซื้อขายโดยต่ออนุกรรม 5 ชุด ของสตริงโมดูลต่อชานานจำนวน 5 แผง ช่วยกระจายรูปแบบการบังเงาและส่งผลให้ลดผลกระทบจากการบังเงางานส่วนได้ โดยเฉพาะอย่างยิ่งการบังเงาแบบ SW ซึ่งมีรูปแบบการบังเงาทั้งแผง จำนวน 2 แผง การจัดเรียงด้วย SD สามารถกระจายงานออกเป็น 2 โมดูลในทุกแควได้ แต่ในกรณีการบังเงาแบบ LN ซึ่งมีรูปแบบการบังเงาทั้งคอลัมน์ จำนวน 2 คอลัมน์ การจัดเรียงด้วย SD ไม่สามารถเพิ่มสมรรถนะได้เนื่องจากเทคนิคที่นำเสนอบนเป็นการจัดเรียงตำแหน่งของโมดูลซึ่งอยู่ภายใต้คอลัมน์เดียวกันทำให้ไม่สามารถกระจายการบังเงาแบบทั้งคอลัมน์ได้ สอดคล้องกับ [4], [5], [10] การจัดเรียงโมดูล หรือสลับตำแหน่งภายในคอลัมน์มีความสามารถในการกระจายการบังเงารูปแบบทั้งแผง และในทางตรงกันข้าม การจัดเรียงโมดูลหรือสลับตำแหน่งภายในแผงจะมีความสามารถในการกระจายการบังเงารูปแบบทั้งคอลัมน์ได้ในการศึกษานี้เป็นการศึกษาการลดผลกระทบจากการบังเงางานส่วนที่มีรูปแบบเงาและความเข้มรังสีดวงอาทิตย์คงที่ในกรณีที่รูปแบบการบังเงาและความเข้มรังสีดวงอาทิตย์แตกต่างจากรูปที่ 4 และ 5 การประยุกต์ใช้เทคนิคที่นำเสนอสามารถทำได้โดยกำหนดตำแหน่งแผงที่ได้รับการบังเงาและความเข้มรังสีดวงอาทิตย์ที่พิจารณาลงในบล็อกได้แก่ กรณีที่รูปที่ 8 และ 9 เทคนิคที่นำเสนอเหมาะสมสำหรับระบบผลิตไฟฟ้าพลังงานแสงอาทิตย์ที่ติดตั้งบนหลังคาขนาดเล็ก ซึ่งติดตั้งอาร์เรย์เป็นรูปแบบชุดเดียวบนบนหลังคา การบังเงางานส่วนที่เกิดขึ้นเป็นประจำ เช่น อาคารสูง เสาไฟฟ้า ต้นไม้ เป็นต้น และการบังเงางานส่วนที่เกิดขึ้นเป็นครั้งคราว เช่น เครื่องบินก้อนเมฆ เป็นต้น การลดผลกระทบโดยวิธีการจัดเรียงแบบ SD และซื้อขายโดย TCT สามารถทำได้สะดวกกว่าเมื่อเปรียบเทียบกับวิธีการติดตั้งแผงเพิ่มเนื่องจากนี่ที่ติดตั้งจำกัดอาจจะไม่สามารถติดตั้งเพิ่มได้ สำหรับระบบฟาร์มขนาดใหญ่ซึ่งมีลักษณะการติดตั้งแผงแยกออกเป็นหลาย ๆ



สตรีง แต่ละสตริงติดตั้งห่างกันจะต้องมีการศึกษาเชิงลึกเพิ่มขึ้น เนื่องจากใช้การเชื่อมโยงอาร์เรย์แบบ TCT เพิ่มความบุ่มยกซึ่งกันในการติดตั้ง และบำรุงรักษากว่าจากการเชื่อมโยงแบบอนุกรม–ขนานที่ใช้ในปัจจุบัน ผลจากการวิจัยนี้สามารถนำรูปแบบการจัดเรียงตามเทคนิคที่นำเสนอไปใช้ในติดตั้งอาร์เรย์เซลล์แสงอาทิตย์ที่ติดตั้งบนหลังคาช่วยลดผลกระทบจากการบังเงาบางส่วนได้อย่างมีประสิทธิผลได้

เอกสารอ้างอิง

- [1] T. Namhormchan, “Comparative study of enhanced power generation photovoltaic array under partial shading conditions using magic square row shifting technique,” *EAUHJSci*, vol. 15, no. 2, pp. 247–261, 2021 (in Thai).
- [2] A. de S. Lima, A. V. S. Moreira, A. L. Maitelli and L. S. Barros, “Maximum power point tracking through magic square for photovoltaic modules under partial shading,” in *Proceedings 2019 IEEE PES Innovative Smart Grid Technologies Conference - Latin America (ISGT Latin America)*, 2019, pp. 1–6,
- [3] T. Namhormchan, “Comparative study of PV array performance from array topologies under partial shading using magic square row shifting technique,” *EAUHJSci*, vol. 15, no. 3, pp. 84–104, 2021 (in Thai).
- [4] V. P. Madhanmohan, M. Nandakumar, and A. Saleem, “Enhanced performance of partially shaded photovoltaic arrays using diagonally dispersed total cross tied configuration,” *Energy Sources, Part A: Recovery, Utilization, and Environmental Effects*, pp. 1–19, 2020.
- [5] K. Rajani and T. Ramesh, “Maximum power enhancement under partial shadings using a modified Sudoku reconfiguration,” *CSEE Journal of Power and Energy Systems*, vol. 7, no. 6, pp. 1187–1201, 2021.
- [6] V. Bala Raju, and Ch. Chengaiah, “Performance analysis of conventional, hybrid and optimal PV array configurations of partially shaded modules,” *International Journal of Engineering and Advanced Technology (IJEAT)*, vol. 9, no. 1, pp. 3061–3073, 2019.
- [7] D. B. Mishra, R. Mishra, K. N. Das, A. A. Acharya, “Solving Sudoku puzzles using evolutionary techniques—A systematic survey,” in *Soft Computing: Theories and Applications. Advances in Intelligent Systems and Computing*, vol 583. Springer, Singapore, (2018).
- [8] V. Deshpande, and S. B. Bodkhe, “Ant colony optimization for optimal photovoltaic array reconfiguration under partial shading condition,” *International Research Journal of Engineering and Technology (IRJET)*, vol. 4, no. 12, pp. 1402–1410, 2017.
- [9] H. S. Sahu and S. K. Nayak, “Extraction of maximum power from a PV array under nonuniform irradiation conditions,” *IEEE Transactions on Electron Devices*, vol. 63, no. 12, pp. 4825–4831, 2016.
- [10] G. Sai Krishna and T. Moger, “Improved SuDoKu reconfiguration technique for total-cross-tied PV array to enhance maximum power under partial shading conditions,” *Renewable and Sustainable Energy Reviews*, vol. 109, pp. 333–348, 2019.



ภาคผนวก

การกระจายการบังเงาบางส่วนของอาร์เรียโมดูลเซลล์แสงอาทิตย์ จัดเรียงโมดูลโดยใช้ชุดๆ ได้ 5×5 แบบการบากาทจำนวน 5 รูปแบบ เปรียบเทียบกับการจัดเรียงแบบ TCT มาตรฐาน ภายใต้เงื่อนไขการบังเงาบางส่วนรูปแบบต่าง ๆ

		Non-Shaded (NS)					Short Wide (SW)					Short Narrow (SN)					Long Wide (LW)				
TCT	11	12	13	14	15		11	12	13	14	15	11	12	13	14	15	11	12	13	14	15
	21	22	23	24	25		21	22	23	24	25	21	22	23	24	25	21	22	23	24	25
	31	32	33	34	35		31	32	33	34	35	31	32	33	34	35	31	32	33	34	35
	41	42	43	44	45		41	42	43	44	45	41	42	43	44	45	41	42	43	44	45
	51	52	53	54	55		51	52	53	54	55	51	52	53	54	55	51	52	53	54	55
SD1	11	32	43	54	25		11	12	13	14	15	11	12	13	14	15	11	12	13	14	15
	21	52	13	34	45		21	22	23	24	25	21	22	23	24	25	21	22	23	24	25
	31	42	53	24	15		31	32	33	34	35	31	32	33	34	35	31	32	33	34	35
	41	22	33	14	55		41	42	43	44	45	41	42	43	44	45	41	42	43	44	45
	51	12	23	44	35		51	52	53	54	55	51	52	53	54	55	51	52	53	54	55
SD2	11	32	43	54	25		11	12	13	14	15	11	12	13	14	15	11	12	13	14	15
	21	52	13	44	35		21	22	23	24	25	21	22	23	24	25	21	22	23	24	25
	31	42	53	24	15		31	32	33	34	35	31	32	33	34	35	31	32	33	34	35
	41	12	23	34	55		41	42	43	44	45	41	42	43	44	45	41	42	43	44	45
	51	22	33	14	45		51	52	53	54	55	51	52	53	54	55	51	52	53	54	55
SD3	11	52	43	24	35		11	12	13	14	15	11	12	13	14	15	11	12	13	14	15
	21	32	53	44	15		21	22	23	24	25	21	22	23	24	25	21	22	23	24	25
	31	42	13	54	25		31	32	33	34	35	31	32	33	34	35	31	32	33	34	35
	41	22	33	14	55		41	42	43	44	45	41	42	43	44	45	41	42	43	44	45
	51	12	23	34	45		51	52	53	54	55	51	52	53	54	55	51	52	53	54	55
SD4	11	52	43	24	35		11	12	13	14	15	11	12	13	14	15	11	12	13	14	15
	21	32	53	44	15		21	22	23	24	25	21	22	23	24	25	21	22	23	24	25
	31	42	23	14	55		31	32	33	34	35	31	32	33	34	35	31	32	33	34	35
	41	12	33	54	25		41	42	43	44	45	41	42	43	44	45	41	42	43	44	45
	51	22	13	34	45		51	52	53	54	55	51	52	53	54	55	51	52	53	54	55
SD5	11	52	43	24	35		11	12	13	14	15	11	12	13	14	15	11	12	13	14	15
	21	32	53	44	15		21	22	23	24	25	21	22	23	24	25	21	22	23	24	25
	31	42	23	14	55		31	32	33	34	35	31	32	33	34	35	31	32	33	34	35
	41	12	33	54	25		41	42	43	44	45	41	42	43	44	45	41	42	43	44	45
	51	22	13	34	45		51	52	53	54	55	51	52	53	54	55	51	52	53	54	55

Solar Irradiation; 1,000 W/m² 300 W/m²